



## Comparison of Different Genomic Relationship Matrices for Multibreed Weighted Single Step GWAS

Seyed Mostafa Mazloom<sup>1</sup>, Mohammad Mahdi Shariati<sup>2\*</sup>

1- Ph.D. Candidate, Department of Animal Science, Ferdowsi University of Mashhad, Iran.

2- Assistant Professor, Department of Animal Science, Ferdowsi University of Mashhad, Iran.

\*Corresponding Author's Email: [mm.shariati@um.ac.ir](mailto:mm.shariati@um.ac.ir)

Received: 16-10-2022  
Revised: 17-04-2023  
Accepted: 21-05-2023  
Available Online: 07-06-2022

### How to cite this article:

Mazloom, S. M., & Shariati, M. M. (2023). Comparison of different genomic relationship matrices for multibreed weighted single step GWAS. *Iranian Journal of Animal Science Research*, 15(4), 585-597. (in Persian with English abstract).  
<https://doi.org/10.22067/ijasr.2023.79619.1108>

**Introduction:** Genomic best linear unbiased prediction (GBLUP) and Bayesian methods are used for genomic selection (GS) and genome wide association study (GWAS) in animal and plant breeding. The main objective of GWAS is detection of quantitative trait loci (QTL) that is affecting trait. The GBLUP assumes equal variance for all markers but the Bayesian methods assumes specific variance for each marker. When trait are affecting by major QTLs, Bayesian methods have the benefit of marker selection. In weighted GBLUP (WGBLUP), disparate variance of marker specific weights for weighting of all markers are used. If only a deduction of animals is genotyped, single-step WGBLUP (WssGBLUP) can be used. The weighting factors were calculated using marker effect derived Bayesian methods or iteratively based on single step marker effect. In multibreed genomic evaluation, there are several specific genetic structures into a genomic relationship matrix (G). The block wise genomic relationship matrix (BG) consist of several specific relationship blocks for each and pair breeds. BG can more accurately calculated relationships among animals than G matrix in multibreed genomic evaluations. The aim of this study is comparison G and BG and weighted BG (WBG) in weighted single step GWAS.

**Materials and Methods:** To conduct our study, we initially simulated two distinct populations, labeled as A and B, utilizing the QMSim software. The simulation involved the creation of two chromosomes, each spanning a length of two morgans. Within each chromosome, we simulated 2500 single nucleotide polymorphisms (SNPs). Subsequently, four traits were simulated, each possessing heritabilities of 0.05 and 0.3, along with varying numbers of quantitative trait loci (QTLs) set at 50 and 500. Following the simulation, we calculated the genetic value (G), the breeding value given by markers (BG), and the weighted breeding value given by markers (WBG) using SNP genotypes for all animals in the study. This comprehensive approach allowed us to evaluate and analyze the genetic and breeding values associated with the simulated traits across the populations. Genomic relationship matrices were used for single step GWAS (SSGWAS) analysis for each trait. 10 iterations was considered for single step SNP effect analyses. Moreover, the SNP effects were obtained by BayesB approach. BayesB effects was used for calculated weighting factors in WBG. Accuracies of methods and number of identified SNPs with explained genetic variance higher than 1% were reported.

**Results and Discussion:** using G and BG and WBG in SSGWAS led to identify 14, 16 and 21 SNP with higher than one percentage variance explained, respectively. Moreover, convergent accuracies of WssGBLUP using G and BG and WBG were 0.36, 0.39 and 0.43, respectively. WssGBLUP using WBG could be converged faster than using G and BG. Furthermore, accuracy of WssGBLUP using WBG was significantly more than



using G and BG. Multibreed GWAS is led to increase power of model because phenotypic information is severely increase. In multibreed GWAS, relationships among breeds usually are rare or zero but there are several locations among breeds that shared among them and should use those for genomic relationship calculation. In WBG and BG could be accurately calculate pair breeds genomic relationships using sharing pair breeds genomic locations. Principal component analyses showed that WBG was let to strongly increase genomic relationship among animals that is led to improved power of WssGWAS.

**Conclusion:** According to recent studies, multibreed genomic evaluation with the WssGBLUP can improve the accuracy of multibreed genomic evaluation, and the results of our study showed that for multibreed genomic evaluation and WssGWAS with the WssGBLUP , instead of the genomic relationship matrix (G), BG or WBG genomic relationship matrices are the better to use.

**Keywords:** Multibreed GWAS, Block wise genomic relationship matrix, WssGWAS, WssGBLUP, Explained genetic variance

## مقایسه ماتریس‌های روابط خویشاوندی ژنومی متفاوت در پویش ژنومی وزن‌دهی شده چند

## جمعیتی

سید مصطفی مظلوم<sup>۱</sup> و محمدمهدی شریعتی<sup>۲\*</sup>

تاریخ دریافت: ۱۴۰۱/۰۷/۲۴

تاریخ پذیرش: ۱۴۰۲/۰۲/۳۱

## چکیده

هدف از پژوهش حاضر، انتخاب بهترین ماتریس روابط خویشاوندی ژنومی برای پویش ژنومی چندجمعیتی است. ساختار ژنتیکی جمعیت‌ها منحصر به فرد هستند، بنابراین برای تشکیل ماتریس روابط خویشاوندی ژنومی چند جمعیتی از ماتریس روابط خویشاوندی ژنومی بلوک‌بندی شده استفاده می‌شود. در این مطالعه، ابتدا دو جمعیت با ساختار ژنتیکی متفاوت شبیه‌سازی شدند. سپس ماتریس روابط خویشاوندی ژنومی معمولی (G)، ماتریس روابط خویشاوندی ژنومی بلوک‌بندی شده (BG) و ماتریس روابط خویشاوندی ژنومی بلوک‌بندی شده با واریانس ژنوتیپی برآورد شده با بیز (WBG) برای حیوانات تشکیل شدند و برای مطالعات پویش ژنومی تک مرحله‌ای استفاده شدند. علاوه بر آن، با روش بیز B پویش ژنومی انجام شد و با پویش‌های ژنومی تک مرحله‌ای مقایسه شدند. نتایج پویش ژنومی با استفاده از ماتریس‌های روابط خویشاوندی G، BG و WBG نشان داد که به طور میانگین به ترتیب ۱۴، ۱۶، ۲۱ نشانگر ژنومی مرتبط با QTL‌های صفات شناسایی شدند که واریانس ژنتیکی توجیه شده بالای یک درصد دارند. همچنین با استفاده از روش آماری بیز B تنها دو نشانگر ژنومی با واریانس بالای یک درصد شناسایی شدند. علاوه بر این، میانگین صحت‌های پیش‌بینی ارزش اصلاحی ژنومی در لحظه هم‌گرایی با استفاده از ماتریس‌های G، BG و WBG به ترتیب ۰/۳۶، ۰/۳۹، ۰/۴۳ برآورد شدند. نتیجه‌گیری کلی نشان داد که استفاده از ماتریس‌های روابط خویشاوندی ژنومی BG و WBG می‌تواند باعث بهبود پویش ژنومی چندجمعیتی یا چندنژادی شود.

**واژه‌های کلیدی:** بیز B، پویش ژنومی چند جمعیتی، ماتریس روابط خویشاوندی ژنومی بلوکی، ماتریس روابط خویشاوندی ژنومی

## مقدمه

بلوک‌های هاپلوتایپی کامل طی نسل‌ها باعث شده است که با سهولت بیشتر نشانگرهای ژنتیکی مرتبط با صفات اقتصادی در حیوانات اهلی شناسایی شوند (Liu et al., 2023; van den Berg et al., 2016). روش‌های آماری رگرسیون خطی و بیزی معمولاً برای GWAS در حیوانات و گیاهان و مطالعات بیماری‌های انسانی استفاده می‌شوند (Meuwissen et al., 2009; Reales and Wallace, 2023). هدف اصلی GWAS شناسایی جایگاه‌های صفت کمی (QTL) با تأثیر عمده است. اخیراً با معرفی روش آماری پویش ژنومی تک مرحله‌ای (ssGWAS) برای برآورد واریانس ژنتیکی نشانگرهای ژنومی از پیش‌بینی ارزش اصلاحی به روش آماری پیش‌بینی ناریب خطی تک مرحله‌ای (ssGBLUP) استفاده می‌شود (Wang et al., 2012; Wijesena et al., 2023). پیش‌بینی ارزش اصلاحی ژنومی و واریانس ژنتیکی پلی‌مورفیسم تک نوکلئوتیدی (SNP) را می‌توان به راحتی از هر دو روش GBLUP و بیزی به دست آورد (Goddard

پویش گسترده ژنومی (GWAS) با استفاده از اطلاعات فنوتیپی صفات و ژنوتیپ نشانگرهای ژنومی (SNPs)، واریانس‌های ژنومی مرتبط با جایگاه‌های صفات کمی (QTL) را شناسایی می‌کند. با افزایش دسترسی به توالی‌یابی ژنومی شناسایی واریانس‌ها و ژن‌های مرتبط با صفات اقتصادی در حیوانات اهلی نسبت به گذشته آسان‌تر شده است. علاوه بر این، وجود عدم تعادل لینکاژی (LD) تقریباً گسترده بین نشانگرهای ژنومی و جایگاه‌های صفات کمی و انتقال

۱- دانشجوی دکتری ژنتیک و اصلاح نژاد دام، گروه علوم دامی، دانشکده کشاورزی، دانشگاه فردوسی مشهد، ایران.

۲- استادیار، گروه علوم دامی، دانشکده کشاورزی، دانشگاه فردوسی مشهد، ایران.

\*- نویسنده مسئول: (Email: mm.shariati@um.ac.ir)

<https://doi.org/10.22067/ijasr.2023.79619.1108>

منجر به بهبود پیش‌بینی ارزش اصلاحی ژنومی شود (Tiezzi and Maltecca, 2015; Zhang et al., 2014; Su et al., 2014).

چندین روش برای ساخت ضرایب وزن‌دهی نشانگرهای ژنومی معرفی شده است. به‌عنوان مثال، روش‌های استفاده از نتایج آزمون رگرسیونی پویس ژنومی ( $-\log(p\text{-value})$ ) و استفاده از واریانس ژنتیکی نشانگرهای ژنومی برآورد شده با اثرات جایگزینی آلی نشانگرهای ژنومی ( $2pq\alpha^2$ ) برای وزن‌دهی نشانگرهای ژنومی استفاده می‌شوند (Gualdrón Duarte et al., 2020; Su et al., 2014).

2020: اخیراً، مطالعات وزن‌دهی ماتریس روابط خویشاوندی ژنومی نشان داده است که وزن‌دهی نشانگرهای ژنومی با استفاده از واریانس ژنتیکی برآورد شده با اثرات نشانگرهای ژنومی برآورد شده از پیش‌بینی ارزش اصلاحی ژنومی GBLUP و ssGBLUP می‌تواند باعث بهبود پویس ژنومی شود (Wang et al., 2014).

وَنگ و همکاران (Wang et al., 2014) با شبیه‌سازی داده‌های ژنومی نشان دادند که با روشی چند مرحله‌ای وزن‌دهی نشانگرهای ژنومی با اثرات برآورد با استفاده از ارزش‌های اصلاحی پیش‌بینی شده با روش WssGBLUP و برآورد اثرات نشانگری با استفاده از اطلاعات آخرین تکرار وزن‌دهی باعث می‌شود که محدوده QTL‌ها را با دقت بیشتری نسبت به روش‌های بیزی نظیر بیز B شناسایی کرد (Zhang et al., 2016) در روش پویس ژنومی وزن‌دهی شده تک مرحله‌ای (WssGWAS) به دلیل اینکه هم‌زمان از اطلاعات حیوانات ژنوتیپ شده و فاقد ژنوتیپ برای پیش‌بینی ارزش اصلاحی ژنومی استفاده می‌شود و صحت پیش‌بینی ارزش اصلاحی ژنومی افزایش قابل ملاحظه‌ای دارد، می‌تواند با دقت و توان بالاتری نسبت به روش‌های بیزی جایگاه‌های صفت کمی را شناسایی نماید (Wang et al., 2014). مطالعات پویس ژنومی و انتخاب ژنومی اخیر نشان داده است که افزایش اندازه جمعیت می‌تواند به توان آماری برای شناسایی QTL‌های صفت و پیش‌بینی ارزش اصلاحی ژنومی کمک کند. بنابراین، مطالعات ژنومی چند نژادی یا چند جمعیتی بسیار حائز اهمیت شده است (Erbe et al., 2012; Raven et al., 2014).

وارونز و همکاران (Veroneze et al., 2016)، به روش‌های معمولی و بلوک‌بندی شده ماتریس‌های روابط خویشاوندی ژنومی تشکیل دادند و به‌روش GBLUP برای حیوانات دو نژاد خوک ارزش اصلاحی ژنومی پیش‌بینی کردند. نتایج آن‌ها نشان داد که استفاده از ماتریس روابط خویشاوندی ژنومی بلوک‌بندی شده (BG) باعث افزایش صحت پیش‌بینی ارزش اصلاحی ژنومی قابل ملاحظه‌ای شده است، همچنین در این مطالعه ماتریس روابط خویشاوندی ژنومی بلوک‌بندی شده وزن‌دهی (WBG) شد و نسبت به غیر وزن‌دهی شده (BG) آن صحت پیش‌بینی ارزش اصلاحی ژنومی بالاتری نشان داد. در مطالعه‌ای دیگر، آوارنگا و همکاران (Alvarenga et al., 2020) با شبیه‌سازی، جمعیت‌های آمیخته و خالص پدری و مادری در قالب

(Tiezzi and Hayes, 2009) یک توزیع نرمال را برای اثرات SNP فرض می‌کند و اثر آن‌ها را از روی فنوتیپ‌ها و ماتریس روابط خویشاوندی ژنومی (G) محاسبه می‌کند. هنگامی که فقط تعداد اندکی از افراد یک جمعیت تعیین ژنوتیپ می‌شوند، GBLUP تک مرحله‌ای (ssGBLUP) روش مناسبی برای پیش‌بینی ارزش اصلاحی ژنومی حیوانات است (Aguilar et al., 2010). اطلاعات اضافی در مورد حیوانات فاقد ژنوتیپ، صحت پیش‌بینی ارزش اصلاحی افزایش می‌دهد (Legarra et al., 2015).

روش‌های بیزی نظیر بیز A و بیز B روش‌های غیرخطی هستند که برای برآورد اثر جایگزینی آلی هر یک از نشانگرهای ژنومی (SNPs)، توزیع پیشین واریانس اثرات ژنتیکی در نظر می‌گیرند و سپس با توزیع پسین واریانس اثرات ژنتیکی و از طریق زنجیره نمونه‌گیری مونتوکارلو (MCMC) اثرات نشانگرهای ژنومی برآورد می‌شود (Meuwissen et al., 2009). اما روش‌های آماری GBLUP و ssGBLUP برای تمامی نشانگرهای ژنومی توزیع و وزن یکسانی را در نظر می‌گیرند (Vanraden, 2008). توزیع اثرات ژن‌ها در صفات اقتصادی یکسان نیست، بلکه در بسیاری از صفات اقتصادی تعداد اندکی جایگاه صفت کمی (QTL) عمده اثر هستند و دیگر جایگاه‌های صفت کمی اثرات جزئی دارند (Cesarani et al., 2022). در روش‌های بیزی با وزن‌دهی مخصوص به‌عنوان پیش‌فرض به نشانگرهای ژنومی، سعی بر این است که نشانگرهایی که با جایگاه‌های صفت کمی (QTLs) عمده اثر پیوستگی دارند و اثرات بزرگی دارند، شناسایی شوند (Su et al., 2014; Zhang et al., 2010).

مطالعات شبیه‌سازی نشان داده است، زمانی که صفت دارای تعداد اندکی QTL با اثرات بزرگ است، روش‌های آماری بیزی نسبت به GBLUP کارایی بالاتری برای پیش‌بینی ارزش اصلاحی ژنومی و پویس ژنومی دارند (Lund et al., 2009; Gao et al., 2012). در مطالعات واقعی در گاو شیری نتایج نشان داده است، به دلیل فراوانی بالای QTL‌ها در صفات اقتصادی روش‌های بیزی صحت پیش‌بینی ارزش اصلاحی ژنومی کمتری نسبت به روش‌های GBLUP و ssGBLUP دارند (Su et al., 2010; Cole et al., 2009).

یکی از روش‌های گنجاندن واریانس اختصاصی برای نشانگرهای ژنومی در روش آماری GBLUP، وزن‌دهی نشانگرهای ژنومی به هنگام تشکیل ماتریس روابط خویشاوندی ژنومی (G) است (Zhang et al., 2010). در این روش آماری (WGBLUP)، پیش‌بینی ارزش اصلاحی تک مرحله‌ای با توزیع واریانس ژنتیکی نشانگرهای ژنومی مشابه روش‌های بیزی انجام می‌شود و هر نشانگر ژنومی بر اساس میزان پیوستگی و ارتباطی که با QTL‌های صفت دارد، وزن مخصوص به خود می‌گیرد و اصطلاحاً ماتریس روابط خویشاوندی وزن‌دهی اختصاصی (GW) می‌شود. در بسیاری مطالعات نشان داده شده است که وزن‌دهی ماتریس روابط خویشاوندی ژنومی می‌تواند

نتیجه این فرآیند ساخت جمعیت منجر به شبیه‌سازی جمعیت تاریخی شد. برای ایجاد LD در فاصله ژنتیکی بلند و ایجاد ساختار ژنتیکی جمعیت ثانویه، ۱۰۰۰ حیوان نر و ۴۰۰۰ حیوان ماده نسل آخر جمعیت تاریخی به مدت ۵۰ نسل با یکدیگر آمیزش تصادفی داده شدند. نرخ جایگزینی والدین در جمعیت ثانویه ۰/۵ در نظر گرفته شد و طرح انتخاب و حذف والدین به ترتیب تصادفی و سن بالا در نظر گرفته شد. سپس برای ایجاد دو جمعیت مشتق شده، برای جمعیت اول (A) از بین حیوانات نسل آخر جمعیت ثانویه ۲۰ حیوان نر و ۱۰۰ حیوان ماده (نسل پایه) انتخاب شدند و برای جمعیت دوم (B) از بین حیوانات نسل ۲۰ جمعیت ثانویه ۳۰ حیوان نر و ۱۲۰ حیوان ماده (نسل پایه) انتخاب شدند. هر دو جمعیت به مدت ۵۰ نسل آمیزش تصادفی داده شدند. نرخ جایگزینی والد نر در جمعیت‌های اول و دوم به ترتیب ۸۰ و ۵۰ درصد انتخاب شدند و نرخ جایگزینی والد ماده در جمعیت اول و دوم به ترتیب ۳۰ و ۱۰ درصد انتخاب شدند. نرخ رشد تعداد والد نر جمعیت اول و دوم ۱۰ درصد و نرخ رشد تعداد والد ماده جمعیت‌های اول و دوم به ترتیب ۱۰ درصد و پنج درصد جمعیت پایه انتخاب شدند. انتخاب حیوانات برای جایگزینی والدین در جمعیت‌های اول و دوم به ترتیب ارزش اصلاحی بالا و ارزش فنوتیپی بالا در نظر گرفته شد و حیوانات مسن از جمعیت‌ها حذف شدند و نرخ نتاج متولد شده به‌ازاء هر حیوان ماده یک فرزند انتخاب شد (مطابق با گله‌های گاوهای نژاد شیری). میزان LD در فواصل کوتاه و بلند در نسل آخر جمعیت‌های اول و دوم به ترتیب ۰/۳۵ و ۰/۲۸ و ۰/۱۱ و ۰/۰۸ برآورد شدند. این مقادیر تقریباً مشابه مقادیر LD گزارش شده در حیوانات اهلی بودند (De Roos et al., 2008).

ژنوتیپ نشانگرهای ژنومی حیوانات نسل آخر جمعیت‌های اول و دوم ذخیره شدند. علاوه بر این، شجره و ارزش‌های فنوتیپی سه نسل آخر جمعیت اول و پنج نسل آخر جمعیت دوم ذخیره شدند. در مجموع، اطلاعات شجره و ارزش فنوتیپی ۴۷۹۸ حیوان ذخیره شدند که ۱۲۹۸ حیوان دارای ژنوتیپ بودند. برای مقایسه روش‌های آماری و اعتبارسنجی بهبود پویا ژنومی شبیه‌سازی با ۱۰ تکرار انجام شد. ژنوتیپ‌های نشانگرهای ژنومی مطابق کمترین فراوانی آللی (MAF) بیشتر از یک درصد و آزمون تعادل هاردی-وینبرگ با  $P < 10^{-6}$  (Purcell et al., ) PLINK با استفاده از نرم‌افزار کنترل کیفیت شدند.

#### مدل آماری

مدل آماری مختلط برای پیش‌بینی ارزش اصلاحی ژنومی برای پویا ژنومی با حیوانات ژنوتیپ شده و غیر ژنوتیپ شده، مدل آماری WssGBLUP است (Legarra et al., 2014)، که با استفاده از ماتریس روابط خویشاوندی ترکیبی شجره و ژنومی ارزش‌های

یک ماتریس روابط خویشاوندی ژنومی (G) وزن‌دهی کردند. نتایج آن‌ها نشان داد که استفاده از ماتریس روابط خویشاوندی ژنومی وزن-دهی شده معمولی (GW) نمی‌تواند صحت پیش‌بینی ارزش اصلاحی ژنومی چند جمعیتی را افزایش دهد. با توجه به مطالعات اخیر، استفاده از چند جمعیت به‌جای یک جمعیت به‌عنوان جمعیت مرجع با استفاده از ماتریس روابط خویشاوندی ژنومی بلوک‌بندی شده (BG) یا وزن‌دهی شده آن (WBG) می‌تواند پیش‌بینی ارزش اصلاحی ژنومی را بهبود بخشد (Kemper et al., 2015; Veroneze et al., 2016). هدف این مطالعه، انتخاب بهترین ماتریس روابط خویشاوندی ژنومی برای برآورد غیرخطی واریانس ژنتیکی برآورد شده با اثرات جایگزینی آللی نشانگرهای ژنومی به‌روش آماری WssGWAS برای پویا ژنومی چند جمعیتی (استفاده از اطلاعات فنوتیپی و ژنوتیپی حیوانات ژنوتیپ شده و فاقد ژنوتیپ بیش از یک جمعیت) است. بدین ترتیب ابتدا دو جمعیت با ساختار ژنتیکی کاملاً مجزا شبیه‌سازی شدند. سپس با استفاده از سه ماتریس روابط خویشاوندی ژنومی (G)، بلوک‌بندی شده (BG) و بلوک‌بندی شده وزن‌دهی شده (WBG) به روش WssGWAS با چرخه وزن‌دهی ۱۰ مرحله‌ای، واریانس ژنتیکی برآورد شده با اثرات جایگزینی آللی نشانگرهای ژنومی برآورد شدند و پویا ژنومی چند جمعیتی انجام شد. سپس صحت‌های پیش‌بینی ارزش اصلاحی ژنومی تمامی مرحله‌ها برآورد و گزارش شدند (Zhang et al., 2016).

#### مواد و روش‌ها

##### شبیه‌سازی ژنوم و جمعیت

در این مطالعه، چهار صفت کمی با وراثت‌پذیری‌های ۰/۳ و ۰/۰۵ و تراکم‌های جایگاه صفت کمی (QTLs) ۵۰ و ۵۰۰ با واریانس فنوتیپی یک روی ژنومی متشکل از دو کروموزوم، هر یک به‌طول ۱۰۰ سانتی مورگان شبیه‌سازی شدند. روی هر یک از کروموزوم‌ها ۵۰۰۰ نشانگر ژنومی (SNPs) توزیع شدند. موقعیت جایگاه‌های صفت کمی و نشانگرهای ژنومی تصادفی انتخاب شدند. اثرات جایگزینی آللی برای QTLها از یک توزیع گاما با پارامتر شکلی ۰/۴ و نرخ ۱/۶۶ نمونه‌گیری شدند و برای هر QTL تعداد دو، سه یا چهار آلل به تصادف شبیه‌سازی شد، اما نشانگر ژنومی دو آللی (چند شکلی تک نوکلئوتیدی) شبیه‌سازی شدند. نرخ جهش برگشت‌پذیر برای جایگاه‌های صفت کمی QTLs و نشانگرهای ژنومی SNPs  $10^{-6}$  در نظر گرفته شد.

برای ایجاد عدم تعادل لینکاژی (LD) در فاصله ژنتیکی کوتاه به روش تعادل جهش - رانش ژنتیکی، ابتدا یک جمعیت پایه به اندازه ۱۰۰۰ حیوان به مدت ۵۰۰ نسل آمیزش تصادفی داده شدند و سپس اندازه جمعیت به ۵۰۰۰ حیوان به مدت ۵۰۰ نسل گسترش داده شد. در

که در آن،  $A^{-1}$ ،  $GW^{-1}$  و  $A_{22}^{-1}$  به ترتیب معکوس ماتریس-های روابط خویشاوندی شجره کل حیوانات، روابط خویشاوندی ژنومی، حیوانات دارای ژنوتیپ (در ادامه نحوه تشکیل آن توضیح داده خواهد شد) و روابط خویشاوندی شجره حیوانات دارای ژنوتیپ هستند. در این مطالعه، هدف انتخاب بهترین ماتریس روابط خویشاوندی ژنومی برای تشکیل ماتریس روابط خویشاوندی ترکیبی است که بتواند صحت پیش‌بینی ارزش‌های اصلاحی و دقت پویش ژنومی چند جمعیتی را بهبود بخشد.

با توجه به اینکه ساختار ژنتیکی جمعیت‌ها با یکدیگر متفاوت هستند و ساختار ژنومی آن‌ها نظیر LD و فراوانی آللی نشانگرهای ژنومی کاملاً متفاوت هستند. در نتیجه، باید روابط خویشاوندی ژنومی حیوانات درون هر جمعیت جدا از روابط خویشاوندی بین حیوانات دو جمعیت برآورد شود (Wientjes et al., 2017). اصطلاحاً در هنگام تشکیل ماتریس روابط خویشاوندی ژنومی، روابط خویشاوندی حیوانات هر جمعیت و روابط خویشاوندی بین حیوانات دو جمعیت در بلوک‌های خویشاوندی کاملاً مجزا برآورد می‌شوند (Zhou et al., 2014). بنابراین، در این مطالعه به دو روش معمولی و بلوک‌بندی شده، ماتریس‌های روابط خویشاوندی ژنومی تشکیل شدند و معکوس آن‌ها برای تشکیل ماتریس  $H^{-1}$  استفاده شدند. روش معمولی (G) به صورت معادله ۳ (Vanraden, 2008) و روش بلوک‌بندی شده (BG) به صورت معادله ۴ (Wientjes et al., 2017) تشکیل شدند.

$$G = \frac{MD_t M'}{2 \sum 2p_{AB}(1 - p_{AB})}, G^{-1} = (0.95G + 0.05 A_{22})^{-1} \quad (۳)$$

$$BG = \left[ \begin{array}{c} \frac{M_A D_t M'_A}{2 \sum p_A(1 - p_A)} \\ \frac{M_B D_t M'_B}{2 \sum \sqrt{p_B(1 - p_B)} p_A(1 - p_A)} \end{array} \quad \frac{M_A D_t M'_B}{2 \sum \sqrt{p_A(1 - p_A)} p_B(1 - p_B)} \quad \frac{M_B D_t M'_B}{2 \sum p_B(1 - p_B)} \right] \quad (۴)$$

$$BG^{-1} = (0.95BG + 0.05 A_{22})^{-1}$$

زمانی که دیگر با وزن‌دهی صحت تغییر قابل ملاحظه‌ای نکنند، ادامه دارد (Zhang et al., 2016). سپس اثرات نشانگرهای ژنومی برآورد شده در تکرار آخر برای پویش ژنومی استفاده می‌شوند. در این مطالعه، با استفاده از ماتریس‌های روابط خویشاوندی ژنومی به روش‌های معادله‌های ۵ (با استفاده از ماتریس G) (Wang et al., 2012) و ۶ (با استفاده از ماتریس BG) (Wientjes et al., 2017) آللی برآورد شدند. سپس برای تکرار بعد به روش معادله ۷ برای نشانگرهای ژنومی ضرایب وزن‌دهی برآورد شدند. علاوه‌براین، از

اصلاحی حیوانات و اثرات جایگزینی آللی نشانگرهای ژنومی را برآورد می‌کند، به شکل زیر است:

$$y = Xb + Zg + e \quad (۱)$$

در معادله ۱، y: بردار ارزش‌های فنوتیپی، ماتریس‌های X و Z: به ترتیب ارزش‌های فنوتیپی به اثرات ثابت نژاد و حیوان‌ها مرتبط می‌کنند. b و g: به ترتیب بردارهای اثرات ثابت و ارزش‌های اصلاحی حیوانات با توزیع  $g \sim N(0, H\sigma_g^2)$  هستند. e: بردار اثرات باقیمانده با توزیع  $e \sim N(0, I\sigma_e^2)$  است. H و I: به ترتیب ماتریس روابط خویشاوندی ترکیبی (نحوه تشکیل آن در ادامه توضیح داده خواهد شد) و ماتریس قطری واحد هستند. همچنین،  $\sigma_g^2$  و  $\sigma_e^2$ : به ترتیب واریانس‌های ژنتیک افزایشی و باقی‌مانده هستند. مؤلفه‌های واریانس، ارزش‌های اصلاحی حیوانات و اثرات جایگزینی آللی نشانگرهای ژنومی با استفاده از نرم‌افزارهای BLUPF90 و postGSF90 انجام شدند (Lourenco et al., 2020).

### تشکیل ماتریس‌های روابط خویشاوندی ترکیبی شجره و ژنومی

ماتریس H یک ماتریس روابط خویشاوندی ترکیبی است، که در آن رابطه خویشاوندی بین افراد دارای ژنوتیپ و بدون ژنوتیپ برآورد می‌شود. در واقع، یک ماتریس واحد برای تشکیل روابط خویشاوندی کل افراد یک جمعیت با شجره و ژنوتیپ نشانگرهای ژنومی است. ماتریس  $H^{-1}$  در معادله ۲ آمده است (Legarra et al., 2014).

$$H^{-1} = A^{-1} + \begin{bmatrix} 0 & 0 \\ 0 & GW^{-1} - A_{22}^{-1} \end{bmatrix} \quad (۲)$$

در معادله ۳، M و  $p_{AB}$  به ترتیب ماتریس ژنوتیپی مرکزی شده و فراوانی آللی دو جمعیت A و B هستند. در معادله ۴:  $M_A$  و  $M_B$  و  $p_A$  و  $p_B$  به ترتیب ماتریس ژنوتیپی مرکزی شده و فراوانی آللی اختصاصی هر یک از جمعیت‌های A و B هستند. در هر دو معادله،  $D_t$ : ماتریس قطری ضرایب وزن‌دهی در تکرار t ام است. در روش آماری WssGWAS ابتدا در تکرار اول  $D=I$  است و در مراحل بعدی با اثرات نشانگرهای ژنومی برآورد شده برای هر نشانگر ژنومی ضریب وزن‌دهی اختصاصی برآورد می‌شود و این تکرارها تا زمانی که صحت‌های پیش‌بینی ارزش اصلاحی ژنومی به همگرایی برسند، یعنی

چند جمعیتی با استفاده از روش آماری WssGWAS، با استفاده از مدل آماری بیز B با ضریب احتمال تأثیر  $\pi = 0.95$  با استفاده از پکیج BGLR (Pérez and De Los Campos, 2014) و الگوریتم نمونه‌گیری گیبس پویش ژنومی چند جمعیتی انجام شد (Zhang et al., 2016).

$$\hat{\alpha}_t = \alpha D_t M' G^{-1} \hat{g}_t, \alpha = \frac{1}{2 \sum p_{AB}(1-p_{AB})} \quad \text{معادله (۵)}$$

$$\hat{\beta}_t = \beta D_t M' B G^{-1} \hat{g}_t, \beta = \frac{1}{2 \sum \sqrt{p_A(1-p_A)p_B(1-p_B)}} \quad \text{معادله (۶)}$$

$$\text{معادله (۷)}$$

$$D_{t+1} = \text{Diag} \left( \frac{n V_{i_t}}{\sum V_{i_t}} \right), V_{i_{BG}} = 2 \sqrt{p_A(1-p_A)p_B(1-p_B)} \hat{\alpha}^2, V_{i_G} = 2 p_{AB} (1 - p_{AB}) \hat{\alpha}^2$$

### نتایج و بحث

آماره‌های توصیفی ارزش‌های فنوتیپی صفات شبیه‌سازی شده برای هر یک از جمعیت‌ها در جدول ۱ نشان داده شده است. نتایج نشان می‌دهد، نسبت به جمعیت پایه با افزایش نسل تعداد QTL‌های مؤثر بر روی صفات کاهش یافته است که نشان می‌دهد، دو جمعیت تحت انتخاب بوده‌اند. همچنین، این تعداد QTL‌ها، جایگاه‌هایی هستند که بین دو جمعیت مشترک می‌باشند. همچنین به دلیل اینکه نحوه و شدت انتخاب بین جمعیت‌ها متفاوت است، میزان وراثت‌پذیری صفت در دو جمعیت متفاوت مشاهده شدند. علاوه بر این‌ها، نتایج نشان داد که ارزش‌های فنوتیپی صفات شبیه‌سازی شده در دو جمعیت A و B کاملاً نسبت به یکدیگر ناهمگن بوده و مجزا می‌باشند. در شبیه‌سازی صفات سعی شد که وراثت‌پذیری‌ها منطبق با صفات اقتصادی در گله‌های گاو شیری باشند (Pedrosa et al., 2023).

ماتریس روابط خویشاوندی ژنومی بلوک‌بندی وزن‌دهی شده با ضرایب وزن‌دهی برآورده شده با اثرات نشانگری مدل آماری بیز B (WBG) (Su et al., 2014; Veroneze et al., 2016) نیز برای پویش ژنومی و مقایسه با ماتریس‌های روابط خویشاوندی ژنومی غیر وزن‌دهی استفاده شد. همچنین برای بررسی کارآمدی پویش ژنومی

در معادله ۵ تا ۷،  $\hat{\alpha}$ : بردار اثرات جایگزینی آلی نشانگرهای ژنومی برای هر تکرار  $t$ ،  $M$ : ماتریس مرکزی شده ژنوتیپ‌های نشانگرهای ژنومی،  $\alpha$  و  $\beta$ : ضرایب تصحیح هستند.  $V_{i_{BG}}$  و  $V_{i_G}$ : به ترتیب واریانس‌های ژنوتیپی برآورد شده با اثرات نشانگرهای ژنومی به دست آمده از ماتریس‌های روابط خویشاوندی ژنومی G و BG هستند. برای محاسبه میزان واریانس ژنتیکی توجیه شده توسط هر یک از نشانگرهای ژنومی از معادله ۸ استفاده شد. برای مقایسه ماتریس‌های روابط خویشاوندی ژنومی، صحت پیش‌بینی ارزش اصلاحی ژنومی و تعداد نشانگرهای ژنومی و مجموع واریانس توجیه شده توسط نشانگرهای ژنومی که حاوی بیش از یک درصد واریانس ژنتیکی کل هستند، برآورد شدند.

$$gVar\%_i = \frac{2 p_{AB_i} (1 - p_{AB_i}) \hat{\alpha}^2_i}{\sigma_a^2} * 100 \quad \text{معادله (۸)}$$

در معادله ۸،  $gVar\%$  و  $p_{AB}$ : به ترتیب درصد واریانس ژنتیکی توجیه شده و فراوانی آلی نشانگر ژنومی  $i$  ام هستند.  $\sigma_a^2$ : واریانس ژنتیکی کل است (Wang et al., 2012).

جدول ۱- آمار توصیفی ارزش فنوتیپی صفات شبیه‌سازی شده

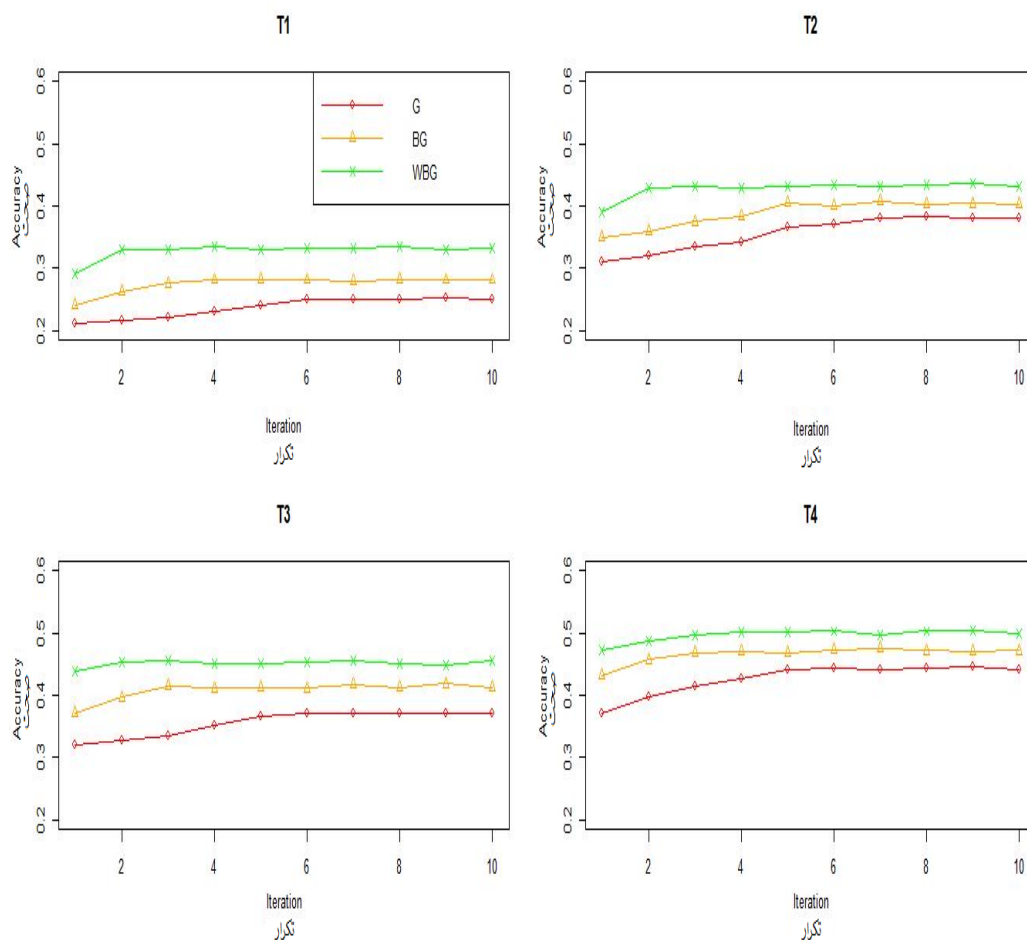
Table 1- Descriptive statistics of phenotypic values of simulated traits

صفات Traits	تعداد جایگاه صفت کمی QTL Number of QTLs	جمعیت Population	وراثت‌پذیری h2	حداکثر Maximum	حداقل Minimum	میانگین Mean	واریانس Variance
T1	47	A	0.015±0.001	3.6±0.05	-2.31±0.01	0.91±0.01	0.97±0.01
		B	0.032±0.002	3.7±0.04	-2.19±0.02	0.79±0.02	0.88±0.02
T2	482	A	0.013±0.001	4.5±0.03	-1.24±0.01	1.64±0.03	0.95±0.01
		B	0.029±0.002	4.6±0.01	-1.89±0.01	0.87±0.01	0.98±0.03
T3	43	A	0.18±0.01	5.4±0.02	-0.03±0.01	2.68±0.02	0.71±0.01
		B	0.23±0.01	5±0.03	-0.28±0.01	2.28±0.01	0.73±0.01
T4	478	A	0.15±0.02	7.2±0.07	2.39±0.01	4.95±0.01	0.75±0.02
		B	0.22±0.01	7±0.08	0.86±0.01	4.15±0.01	0.88±0.01

جدول ۲- صحت‌های پیش‌بینی ارزش اصلاحی ژنومی

Table 2- Accuracies of genomic prediction

صفات Traits	ماتریس روابط خویشاوندی ژنومی G	ماتریس روابط خویشاوندی ژنومی بلوک‌بندی شده Blok wise G	ماتریس روابط خویشاوندی ژنومی وزن‌دهی شده بلوک‌بندی Weighted blok wise G	بیز BayesB
T1	0.25±0.01	0.28±0.01	0.33±0.01	0.24±0.01
T2	0.38±0.03	0.4±0.03	0.43±0.03	0.32±0.02
T3	0.37±0.01	0.41±0.01	0.45±0.01	0.38±0.01
T4	0.44±0.02	0.47±0.02	0.5±0.02	0.4±0.02



شکل ۱- نمودارهای تغییرات صحت در تکرارهای مختلف پویس ژنومی چند جمعیتی برای ماتریس‌های ژنومی متفاوت در صفات T1 تا T4

Figure 1- Plots of iterations of accuracies from T1 to T4 traits

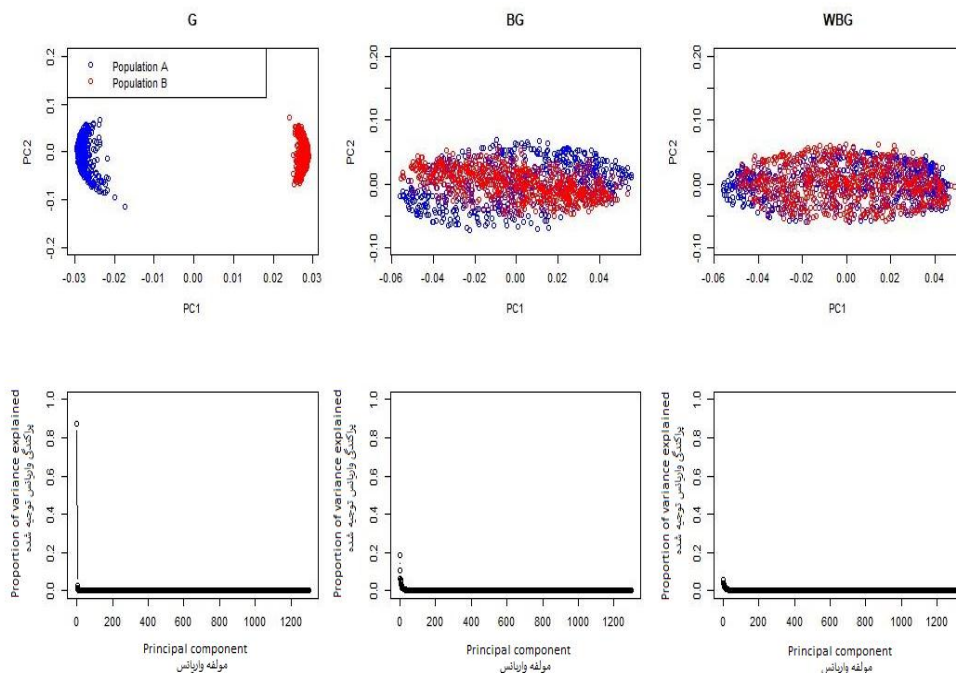
اطلاعات فنوتیپی یا مشاهدات کمتر از مدل‌های ssGBLUP و WssGBLUP نسبت به مدل‌های گفته شده کارایی کمتری دارد و صحت پیش‌بینی ارزش اصلاحی این روش کمتر از روش‌های گفته شده است (Zhang et al., 2016) همچنین نتایج نشان داد، با افزایش تراکم QTL صحت پیش‌بینی ارزش اصلاحی افزایش یافت، که این امر به دلیل آن است که ماتریس روابط خویشاوندی ژنومی در حالت چند ژنی کارایی بیشتری نسبت به حالت تک ژنی صفات دارد

نتایج برآورد صحت در زمان همگرایی تکرارها در مطالعات پویس ژنومی تک مرحله‌ای نشان داد، که استفاده از ماتریس روابط خویشاوندی ژنومی بلوک‌بندی شده (BG) و بلوک‌بندی وزن‌دهی شده (WBG) می‌تواند صحت پیش‌بینی ارزش اصلاحی ژنومی به روش WssGBLUP چند جمعیتی را بهبود بخشد (جدول ۲). علاوه بر این نتایج نشان داد که روش آماری بیز B چند جمعیتی به دلیل متفاوت بودن فاز LD در جمعیت‌های مختلف و همچنین به دلیل



نتایج رسم نمودار PCA ماتریس‌های روابط خویشاوندی در تکراری که صحت پیش‌بینی ارزش اصلاحی به همگرایی می‌رسد، نشان داد که ماتریس WBG نسبت به ماتریس‌های BG و G توانسته است، فاصله ژنتیکی بین جمعیت را کاهش دهد و این امر باعث افزایش توان روش پویس ژنومی چند جمعیتی و افزایش صحت پیش‌بینی ارزش اصلاحی ژنومی شده است (Wu et al., 2015). به طوری که در PC1 میزان واریانس برای ماتریس‌های WBG، BG و G به ترتیب ۰/۰۷، ۰/۲ و ۰/۸ برآورد شد (شکل ۲). این نتایج نشان داد که ماتریس WBG توانسته است، نسبت به سایرین بیشتر از اطلاعات نواحی ژنومی مشترک بین حیوانات دو جمعیت A و B برای همگن‌سازی خویشاوندی ژنومی چند جمعیتی استفاده نماید (Veroneze et al., 2016). دیتویلر و همکاران (Daetwyler et al., 2012) نشان دادند که نزدیکی و دوری رابطه خویشاوندی ژنومی بین حیوانات مرجع و آزمون بر روی صحت و اریبی پیش‌بینی ارزش اصلاحی مؤثر هستند و هر چقدر روابط خویشاوندی ژنومی بین حیوانات بیشتر باشد، صحت پیش‌بینی ارزش اصلاحی بیشتر خواهد بود.

(Goddard and Hayes, 2009; Vanraden, 2008; Wientjes et al., 2015). استفاده از ماتریس روابط خویشاوندی ژنومی بلوک‌بندی وزن‌دهی شده (WBG) برای پیش‌بینی ارزش اصلاحی به روش WssGBLUP چند جمعیتی نسبت به ماتریس‌های BG و G به صورت میانگین باعث به ترتیب ۱۸ و ۳۲ درصد افزایش صحت پیش‌بینی ارزش اصلاحی شده است. همچنین در هنگام برآورد اثرات نشانگرهای ژنومی به روش WssGWAS نسبت به سایر ماتریس‌های روابط خویشاوندی ژنومی در زمان کمتری به همگرایی صحت پیش‌بینی ارزش اصلاحی ژنومی می‌رسد (شکل ۱). ژنگ و همکاران (Zhang et al., 2016) نشان دادند که استفاده از ماتریس روابط خویشاوندی ژنومی GW می‌تواند سرعت و عملکرد WssGWAS تک جمعیتی را بهبود بخشد. علاوه بر آن، اخیراً مطالعات نشان دادند که استفاده از ماتریس WBG می‌تواند صحت پیش‌بینی ارزش اصلاحی ژنومی با روش GBLUP چند جمعیتی را نسبت به ماتریس G افزایش دهد (Veroneze et al., 2016). در مطالعه‌ای دیگر نشان داده شد که استفاده از ماتریس روابط خویشاوندی ژنومی GW در روش ssGBLUP چند جمعیتی در جوامع آمیخته نمی‌تواند منجر به بهبود صحت پیش‌بینی ارزش اصلاحی شود (Alvarenga et al., 2020).



شکل ۲- نمودارهای تجزیه و تحلیل روابط خویشاوندی ژنومی برای ماتریس‌های روابط خویشاوندی ژنومی مختلف  
Figure 2- PCA plots of different genomic relationship matrices

شیری معمولاً جهت و نحوه انتخاب‌ها نزدیک به یکدیگر است، که باعث می‌شود نواحی ژنومی تحت انتخاب مشترک در آن‌ها مشاهده شود. بنابراین، به لحاظ فاز LD نواحی مشترک زیادی بین آن‌ها وجود

مهم‌ترین عامل افزایش توان روش‌های آماری پویس ژنومی اندازه جمعیت مرجع است (Raven et al., 2014). حیوانات اقتصادی نظیر گاو شیری تحت انتخاب شدید هستند. همچنین در نژادهای گاو

نسبت به ماتریس G و Bیز توان بالاتری برای پیش‌بینی ارزش اصلاحی با WssGBLUP و پوشش ژنومی چند نژادی دارند (شکل ۳). علاوه بر این، مطالعات پوشش ژنومی چند جمعیتی با روش آزمون رگرسیونی ساده نشان دادند که استفاده از اطلاعات فنوتیپی و ژنوتیپی چند نژاد گاو شیری باعث افزایش توان شناسایی نشانگرهای ژنومی مرتبط با QTLها می‌شود (Raven et al., 2014).

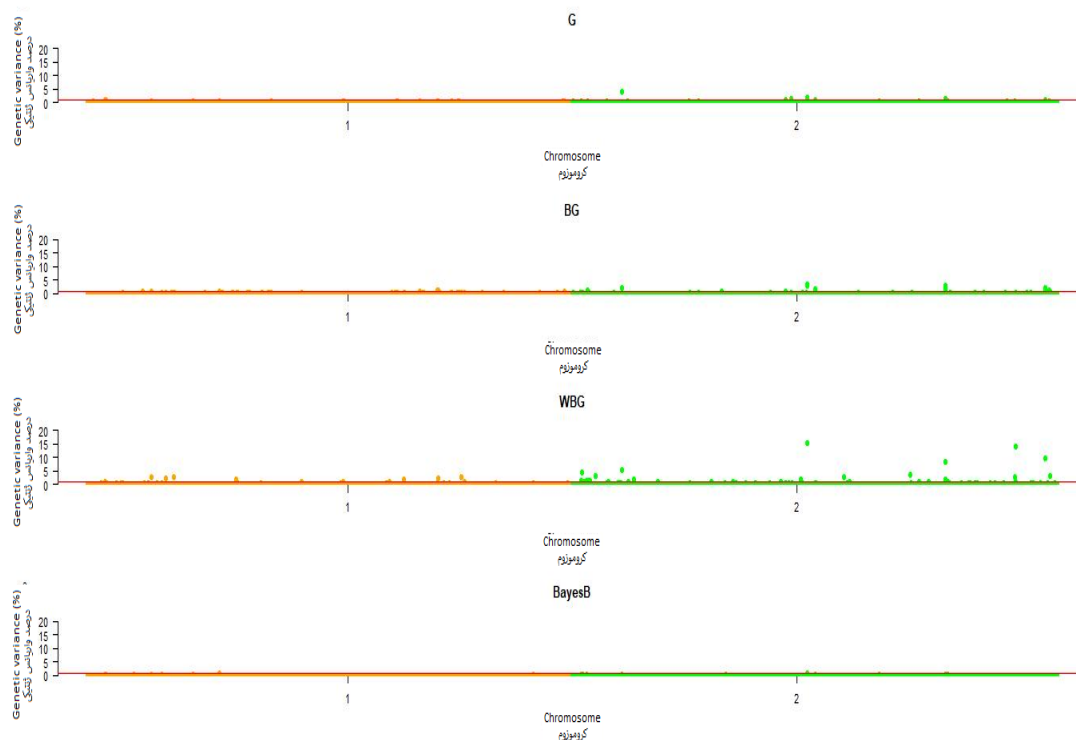
همچنین سانچز و همکاران (Sanchez et al., 2017) نشان دادند که استفاده از GWAS چند نژادی با استفاده از آزمون رگرسیونی ساده برای نقشه‌یابی QTLهای صفات مرتبط با تولید پروتئین شیر، توان روش آماری را برای شناسایی نشانگرهای ژنومی مرتبط با QTLها، به‌طور قابل ملاحظه‌ای بالا برده است. مطالعه دیگری توسط ون دنبرگ و همکاران (van den Berg et al., 2016) بر روی پنج نژاد گاو شیری نشان داد که GWAS چند نژادی نسبت به تک نژادی باعث بهبود دقت شناسایی نواحی QTLها می‌شود. مطالعات اخیر نشان دادند که استفاده از اطلاعات فنوتیپی افراد فاقد ژنوتیپ می‌تواند نقش مهمی در بهبود پوشش ژنومی داشته باشد و علاوه بر آن، استفاده از ماتریس روابط خویشاوندی ژنومی با همبستگی بین جمعیتی بالاتر نسبت به سایر ماتریس‌های روابط خویشاوندی می‌تواند باعث بهبودی پوشش ژنومی گردد. با توجه به مطالعات اخیر و نتایج این مطالعه، استفاده از جمعیت مرجع چند جمعیتی به دلیل افزایش مشاهدات فنوتیپی و اطلاعات ژنتیکی، باعث بهبود پوشش ژنومی چند نژادی شده است. علاوه بر آن، استفاده از ماتریس‌های روابط خویشاوندی ژنومی بلوک‌بندی شده نظیر BG و WBG نسبت به ماتریس‌های روابط خویشاوندی ژنومی تک ساختاری نظیر G و GW باعث بهبود پوشش ژنومی چندجمعیتی شده است.

دارد و در GWAS چند نژادی QTL های با اثرات بزرگ که در این نواحی تحت انتخاب مشترک وجود دارند، شناسایی می‌شوند (van den Berg et al., 2016). نتایج پوشش ژنومی نشان داد که استفاده از ماتریس WBG نسبت به سایر ماتریس‌های G و BG باعث شده است، که تعداد بیشتری نشانگر ژنومی مرتبط با QTLهای صفات T1 تا T4 شناسایی شوند (جدول ۳). حتی در مقایسه با Bیز نیز توان بالاتری برای پوشش ژنومی چند جمعیتی داشت (شکل ۳) (Zhang et al., 2016). علاوه بر این، نشانگرهایی وجود داشتند که بین ماتریس‌های BG و WBG مشترک شناسایی شدند، اما در WBG از درصد واریانس توجیه شده بالاتری برخوردار بودند. به دلیل اینکه WBG در ابتدا نسبت به صفت اختصاصی می‌شود، می‌تواند با دقت بیشتری در وزن‌دهی‌های تکراری روش WssGWAS نشانگرهای اختصاصی یک صفت خاص با استفاده از اطلاعات چند نژاد را شناسایی نماید. همان‌طور که در شکل ۱ مشاهده شد، استفاده از ماتریس WBG باعث شد که پیش‌بینی‌های ارزش اصلاحی در اولین تکرار به همگرایی صحت در چرخه ۱۰ تکراری پوشش ژنومی تک مرحله‌ای برسد. با استفاده از Bیز در صفات T1 تا T4 به ترتیب ۱، ۲، ۳ و ۵ نشانگر ژنومی با واریانس توجیه شده بالای یک درصد شناسایی شد، که این نشان می‌دهد روش Bیز به دلیل سختگیری‌ها و محدودیت‌هایی که در توزیع پیشین برآورد اثرات نشانگرهای ژنومی اعمال می‌کند، برای پوشش ژنومی چند جمعیتی و پیش‌بینی ارزش اصلاحی ژنومی با جمعیت مرجع چند جمعیتی نسبت به روش‌های ssGBLUP و WssGBLUP مناسب نیست، اما کمپر و همکاران (Kemper et al., 2015) نشان دادند که روش آماری Bیز R نسبت به GBLUP برای نقشه‌یابی و پیش‌بینی ارزش اصلاحی به‌روش چند نژادی کارایی بهتری دارد. البته، مطالعه آن‌ها با استفاده از ماتریس G انجام شده است. در مطالعه اخیر نشان داده شد، ماتریس‌های BG و WBG

جدول ۳- تعداد نشانگرهای ژنومی با بیش از یک درصد واریانس ژنتیکی افزایشی توجیه شده ماتریس‌های روابط خویشاوندی ژنومی

Table 3- Proportion of variance (%) explained of different genomic relationship matrices

صفات Traits	ماتریس روابط خویشاوندی ژنومی		ماتریس روابط خویشاوندی ژنومی بلوک‌بندی شده		ماتریس روابط خویشاوندی ژنومی وزن‌دهی شده	
	G		Blok wise G		Weighted Blok wise G	
	تعداد نشانگرهای ژنومی nSNPs	مجموع واریانس ژنومی توجیه شده (%) %TV	تعداد نشانگرهای ژنومی nSNPs	مجموع واریانس ژنومی توجیه شده (%) %TV	تعداد نشانگرهای ژنومی nSNPs	مجموع واریانس ژنومی توجیه شده (%) %TV
T1	10±0.1	16.6±0.2	12±0.1	28.4±0.1	15±0.1	45.5±0.2
T2	17±0.2	33.8±0.1	17±0.1	36.3±0.1	24±0.1	68.1±0.1
T3	12±0.1	19.3±0.3	13±0.2	25.2±0.2	17±0.3	36.5±0.2
T4	18±0.3	14.4±0.1	20±0.2	31.5±0.1	27±0.1	59.3±0.1



شکل ۳- نمودارهای درصد واریانس‌های توجیه شده برای روش‌های مختلف

Figure 3- Manhattan plots of proportion of variance (%) explained of different methods

### نتیجه‌گیری کلی

مطالعات اخیر و مطالعه حاضر نشان دادند که پویس ژنومی چند نژادی با روش آماری WssGWAS می‌تواند باعث بهبود پویس ژنومی چند نژادی برای شناسایی نواحی ژنومی مرتبط با صفات اقتصادی شود. علاوه بر آن، نتایج این مطالعه نشان داد که برای پویس ژنومی چند نژادی با روش آماری WssGWAS می‌توان به جای ماتریس روابط خویشاوندی G از ماتریس روابط خویشاوندی BG یا WBG استفاده نمود. ماتریس WBG به دلیل اینکه در ابتدای

ورود چرخه تکراری وزن‌دهی روش WssGWAS توسط نتایج آنالیز روش آماری بیز B وزن‌دهی جداگانه شده است و هر نشانگر ژنومی در تکرار  $t=0$  در ماتریس WBG واریانس مخصوص به خود را دارند با زمان کمتری به همگرایی صحت پیش‌بینی ارزش اصلاحی می‌رسند. بنابراین، پیشنهاد می‌گردد در مطالعات پویس ژنومی چند جمعیتی با استفاده از روش WssGWAS برای شناسایی نواحی ژنومی مرتبط با اثرات ژنتیکی افزایشی و غیر افزایشی صفات، از ماتریس‌های BG یا بهبود یافته آن WBG استفاده شود.

### References

1. Aguilar, I., Misztal, I., Johnson, D. L., Legarra, A., Tsuruta, S., & Lawlor, T. J. (2010). Hot topic: A unified approach to utilize phenotypic, full pedigree, and genomic information for genetic evaluation of Holstein final score. *Journal of Dairy Science*, 93(2), 743–752. <https://doi.org/10.3168/jds.2009-2730>
2. Alvarenga, A. B., Veroneze, R., Oliveira, H. R., Marques, D. B. D., Lopes, P. S., Silva, F. F., & Brito, L. F. (2020). Comparing alternative single-step GBLUP approaches and training population designs for genomic evaluation of crossbred animals. *Frontiers in Genetics*, 11(April), 1–19. <https://doi.org/10.3389/fgene.2020.00263>
3. Campos, G. D. L., Vazquez, A. I., Fernando, R., Klimentidis, Y. C., Sorensen, D., de los Campos, G., Vazquez, A. I., Fernando, R., Klimentidis, Y. C., & Sorensen, D. (2013). Prediction of complex human traits using the genomic best linear unbiased predictor. *PLoS Genetics*, 9(7). <https://doi.org/10.1371/journal.pgen.1003608>
4. Cesarani, A., Lourenco, D., Tsuruta, S., Legarra, A., Nicolazzi, E. L., VanRaden, P. M., & Misztal, I. (2022). Multibreed genomic evaluation for production traits of dairy cattle in the United States using single-step genomic best linear unbiased predictor. *Journal of Dairy Science*, 105(6), 5141–5152. <https://doi.org/10.3168/jds.2021-21505>
5. Cole, J. B., van Raden, P. M., O'Connell, J. R., van Tassell, C. P., Sonstegard, T. S., Schnabel, R. D., Taylor, J. F., & Wiggans, G. R. (2009). Distribution and location of genetic effects for dairy traits. *Journal of Dairy*

- Science*, 92(6),2931–2946. <https://doi.org/10.3168/jds.2008-1762>
6. Daetwyler, H. D., Kemper, K. E., van der Werf, J. H. J., & Hayes, B. J. (2012). Components of the accuracy of genomic prediction in a multi-breed sheep population. *Journal of Animal Science*, 90(10),3375–3384. <https://doi.org/10.2527/jas.2011-4557>
  7. De Roos, A. P. W., Hayes, B. J., Spelman, R. J., & Goddard, M. E. (2008). Linkage disequilibrium and persistence of phase in Holstein-Friesian, Jersey and Angus cattle. *Genetics*, 179(3),1503–1512. <https://doi.org/10.1534/genetics.107.084301>
  8. Erbe, M., Hayes, B. J., Matukumalli, L. K., Goswami, S., Bowman, P. J., Reich, C. M., Mason, B. A., & Goddard, M. E. (2012). Improving accuracy of genomic predictions within and between dairy cattle breeds with imputed high-density single nucleotide polymorphism panels. *Journal of Dairy Science*, 95(7),4114–4129. <https://doi.org/10.3168/jds.2011-5019>
  9. Gao, H., Christensen, O. F., Madsen, P., Nielsen, U. S., Zhang, Y., Lund, M. S., & Su, G. (2012). Comparison on genomic predictions using three GBLUP methods and two single-step blending methods in the Nordic Holstein population. *Genetics Selection Evolution*, 44(1),8. <https://doi.org/10.1186/1297-9686-44-8>
  10. Goddard, M. E., & Hayes, B. J. (2009). Mapping genes for complex traits in domestic animals and their use in breeding programmes. *Nature Reviews Genetics*, 10(6),381–391. <https://doi.org/10.1038/nrg2575>
  11. Gualdrón Duarte, J. L., Gori, A. S., Hubin, X., Lourenco, D., Charlier, C., Misztal, I., & Druet, T. (2020). Performances of Adaptive MultiBLUP, Bayesian regressions, and weighted-GBLUP approaches for genomic predictions in Belgian Blue beef cattle. *BMC Genomics*, 21(1). <https://doi.org/10.1186/s12864-020-06921-3>
  12. Kemper, K. E., Reich, C. M., Bowman, P. J., Vander Jagt, C. J., Chamberlain, A. J., Mason, B. A., Hayes, B. J., & Goddard, M. E. (2015). Improved precision of QTL mapping using a nonlinear Bayesian method in a multi-breed population leads to greater accuracy of across-breed genomic predictions. *Genetics Selection Evolution*, 47(1),1–17. <https://doi.org/10.1186/s12711-014-0074-4>
  13. Legarra, A., Christensen, O. F., Aguilar, I., & Misztal, I. (2014). Single Step, a general approach for genomic selection. *Livestock Science*, 166(1),54–65. <https://doi.org/10.1016/j.livsci.2014.04.029>
  14. Legarra, A., Christensen, O. F., Vitezica, Z. G., Aguilar, I., & Misztal, I. (2015). Ancestral relationships using metafounders: Finite ancestral populations and across population relationships. *Genetics*, 200(2),455–468. <https://doi.org/10.1534/genetics.115.177014>
  15. Liu, X., Tian, D., Li, C., Tang, B., Wang, Z., Zhang, R., Pan, Y., Wang, Y., Zou, D., Zhang, Z., & Song, S. (2023). GWAS Atlas: An updated knowledgebase integrating more curated associations in plants and animals. *Nucleic Acids Research*, 51(D1),D969–D976. <https://doi.org/10.1093/nar/gkac924>
  16. Lourenco, D., Legarra, A., Tsuruta, S., Masuda, Y., Aguilar, I., & Misztal, I. (2020). Single-step genomic evaluations from theory to practice: using snp chips and sequence data in blupf90. *Genes*, 11(7),1–32. <https://doi.org/10.3390/genes11070790>
  17. Lund, M. S., Sahana, G., de Koning, D. J., Su, G., & Carlborg, Ö. (2009). Comparison of analyses of the QTLMAS XII common dataset. I: Genomic selection. *BMC Proceedings*, 3(S1),1–8. <https://doi.org/10.1186/1753-6561-3-s1-s1>
  18. Meuwissen, T. H., Solberg, T. R., Shepherd, R., & Woolliams, J. A. (2009). A fast algorithm for BayesB type of prediction of genome-wide estimates of genetic value. *Genetics Selection Evolution*, 41(2),1–10. <https://doi.org/10.1186/1297-9686-41-2>
  19. Pedrosa, V. B., Boerman, J. P., Gloria, L. S., Chen, S.-Y., Montes, M. E., Doucette, J. S., & Brito, L. F. (2023). Genomic-based genetic parameters for milkability traits derived from automatic milking systems in North American Holstein cattle. *Journal of Dairy Science*, 106(4), 2613-2629. <https://doi.org/10.3168/jds.2022-22515>
  20. Pérez, P., & De Los Campos, G. (2014). Genome-wide regression and prediction with the BGLR statistical package. *Genetics*, 198(2),483–495. <https://doi.org/10.1534/genetics.114.164442>
  21. Purcell, S., Neale, B., Todd-Brown, K., Thomas, L., Ferreira, M. A. R., Bender, D., Maller, J., Sklar, P., De Bakker, P. I. W., Daly, M. J., & Sham, P. C. (2007). PLINK: A tool set for whole-genome association and population-based linkage analyses. *American Journal of Human Genetics*, 81(3),559–575. <https://doi.org/10.1086/519795>
  22. Raven, L. A., Cocks, B. G., & Hayes, B. J. (2014). Multibreed genome wide association can improve precision of mapping causative variants underlying milk production in dairy cattle. *BMC Genomics*, 15(1). <https://doi.org/10.1186/1471-2164-15-62>
  23. Reales, G., & Wallace, C. (2023). Sharing GWAS summary statistics results in more citations. *Communications Biology*, 6(1),6–11. <https://doi.org/10.1038/s42003-023-04497-8>
  24. Sanchez, M. P., Govignon-Gion, A., Croiseau, P., Fritz, S., Hozé, C., Miranda, G., Martin, P., Barbat-Leterrier, A., Letaïef, R., Rocha, D., Brochard, M., Boussaha, M., & Boichard, D. (2017). Within-breed and multi-breed GWAS on imputed whole-genome sequence variants reveal candidate mutations affecting milk protein composition in dairy cattle. *Genetics Selection Evolution*, 49(1),68. <https://doi.org/10.1186/s12711-017-0344-z>
  25. Su, G., Christensen, O. F., Janss, L., & Lund, M. S. (2014). Comparison of genomic predictions using genomic

- relationship matrices built with different weighting factors to account for locus-specific variances. *Journal of Dairy Science*, 97,6547–6559. <https://doi.org/10.3168/jds.2014-8210>
26. Su, G., Gulbrandsen, B., Gregersen, V. R., & Lund, M. S. (2010). Preliminary investigation on reliability of genomic estimated breeding values in the Danish Holstein population. *Journal of Dairy Science*, 93(3),1175–1183. <https://doi.org/10.3168/jds.2009-2192>
  27. Tiezzi, F., & Maltecca, C. (2015). Accounting for trait architecture in genomic predictions of US Holstein cattle using a weighted realized relationship matrix. *Genetics Selection Evolution*, 47(1),1–13. <https://doi.org/10.1186/s12711-015-0100-1>
  28. van den Berg, I., Boichard, D., & Lund, M. S. (2016). Comparing power and precision of within-breed and multibreed genome-wide association studies of production traits using whole-genome sequence data for 5 French and Danish dairy cattle breeds. *Journal of Dairy Science*, 99(11),8932–8945. <https://doi.org/10.3168/jds.2016-11073>
  29. Vanraden, P. M. (2008). Efficient Methods to Compute Genomic Predictions. *Journal of Dairy Science*, 91(11),4414–4423. <https://doi.org/10.3168/jds.2007-0980>
  30. Veroneze, R., Lopes, P. S., Lopes, M. S., Hidalgo, A. M., Guimarães, S. E. F., Harlizius, B., Knol, E. F., van Arendonk, J. A. M., Silva, F. F., & Bastiaansen, J. W. M. (2016). Accounting for genetic architecture in single- and multipopulation genomic prediction using weights from genomewide association studies in pigs. *Journal of Animal Breeding and Genetics*, 133(3),187–196. <https://doi.org/10.1111/jbg.12202>
  31. Wang, H., Misztal, I., Aguilar, I., Legarra, A., Fernando, R. L., Vitezica, Z., Okimoto, R., Wing, T., Hawken, R., & Muir, W. M. (2014). Genome-wide association mapping including phenotypes from relatives without genotypes in a single-step (ssGWAS) for 6-week body weight in broiler chickens. *Frontiers in Genetics*, 5(MAY),134. <https://doi.org/10.3389/fgene.2014.00134>
  32. Wang, H., Misztal, I., Aguilar, I., Legarra, A., & Muir, W. M. (2012). Genome-wide association mapping including phenotypes from relatives without genotypes. *Genetics Research*, 94(2),73–83. <https://doi.org/10.1017/S0016672312000274>
  33. Wientjes, Y. C. J., Bijma, P., Vandenplas, J., & Calus, M. P. L. (2017). Multi-population genomic relationships for estimating current genetic variances within and genetic correlations between populations. *Genetics*, 207(2),503–515. <https://doi.org/10.1534/genetics.117.300152>
  34. Wientjes, Y. C. J., Calus, M. P. L., Goddard, M. E., & Hayes, B. J. (2015). Impact of QTL properties on the accuracy of multi-breed genomic prediction. *Genetics Selection Evolution*, 47(1),42. <https://doi.org/10.1186/s12711-015-0124-6>
  35. Wijesena, H. R., Nonneman, D. J., Snelling, W. M., Rohrer, G. A., Keel, B. N., & Lents, C. A. (2023). gBLUP-GWAS identifies candidate genes, signaling pathways, and putative functional polymorphisms for age at puberty in gilts. *Journal of Animal Science*. <https://doi.org/10.1093/jas/skad063>
  36. Wu, X., Lund, M. S., Sun, D., Zhang, Q., & Su, G. (2015). Impact of relationships between test and training animals and among training animals on reliability of genomic prediction. *Journal of Animal Breeding and Genetics*, 132(5),366–375. <https://doi.org/10.1111/jbg.12165>
  37. Zhang, X., Lourenco, D., Aguilar, I., Legarra, A., & Misztal, I. (2016). Weighting strategies for single-step genomic BLUP: An iterative approach for accurate calculation of GEBV and GWAS. *Frontiers in Genetics*, 7(AUG),151. <https://doi.org/10.3389/fgene.2016.00151>
  38. Zhang, Z., Liu, J., Ding, X., Bijma, P., de Koning, D. J., & Zhang, Q. (2010). Best linear unbiased prediction of genomic breeding values using a trait-specific marker-derived relationship matrix. *PLoS ONE*, 5(9),1–8. <https://doi.org/10.1371/journal.pone.0012648>
  39. Zhang, Z., Ober, U., Erbe, M., Zhang, H., Gao, N., He, J., Li, J., & Simianer, H. (2014). Improving the Accuracy of Whole Genome Prediction for Complex Traits Using the Results of Genome Wide Association Studies. *PLoS ONE*, 9(3),1–12. <https://doi.org/10.1371/journal.pone.0093017>
  40. Zhou, L., Lund, M. S., Wang, Y., & Su, G. (2014). Genomic predictions across Nordic Holstein and Nordic Red using the genomic best linear unbiased prediction model with different genomic relationship matrices. *Journal of Animal Breeding and Genetics*, 131(4). <https://doi.org/10.1111/jbg.12089>